

## الفصل السادس

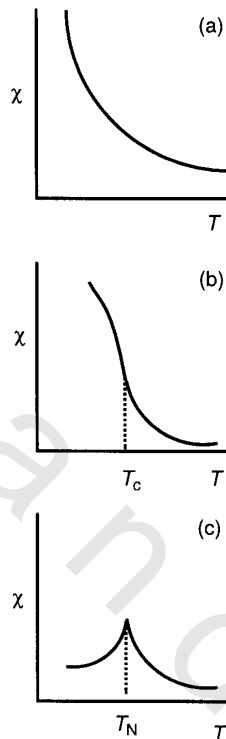
### الظاهرة المغناطيسية (تعاونية)

### MAGNETIC PHENOMENA (CO-OPERATIVE)

إن منابت الديامغناطيسية والبارا مغناطيسية قد نوقشت في أساسيات الكيمياء غير العضوية ١، وأن مثل هذه الخواص المغناطيسية لعقد مفرد يمكن أن تنساب إلى تلك الملاحظة لعينة صلبة محتوية على بلايين الجزيئات. ولكن، هناك مركبات أخرى حيث تتأثر مغازل الإلكترون على أي جزيء بعينه بتلك الموجودة على جزيئات مجاورة وبالتالي فإن السلوك المغناطيسي الملاحظ هو ظاهرة تراكمية.

إن لمادة بارامغناطيسية تقليدية قابلية مولارية،  $\chi$ ، تتناسب عكساً مع الحرارة (ينص قانون كوري على  $T = C / \chi$  حيث  $C$  هو ثابت كوري) تؤدي إلى الرسم البياني الموضح في (الشكل رقم ١٨). في مادة فيرومغناطيسية فإن المغازل المغناطيسية على أحد الجزيئات تفضل أن تصطف موازية إلى تلك بالجزيئات المجاورة. هذا التفضيل يمكن أن يثبت فوق عدة آلاف من وحدات الخلايا ليتشكل حقل مغناطيسي. لعينة الفيرومغناطيسية رسم بياني  $\chi$  مقابل  $T$  مميز موضح في (الشكل رقم ١٨، ب)، حيث أسفل حرارة كوري  $T_c$  فإن قابلية العينة تزداد مقارنة بتلك المتوقعة بناءً على قانون كوري، بسبب اصطدام المغازل. في المادة مضادة الفيرومغناطيسية فإن المغازل المغناطيسية على أحد الجزيئات، تفضل أن تتصطفع في توالي منعكس مع تلك للجزيئات المجاورة ويترتب على ذلك أن القابلية أسفل حرارة نيل تنخفض مقارنة بتلك المتوقعة من قانون كوري (الشكل رقم ١٨، ب).

### الظاهرة المغناطيسية لروابط فلز - فلز المضاعفة



الشكل رقم (١١). رسوم بيانية مميزة للقابلية المولارية مقابل درجة الحرارة لمواد (a) بارامغناطيسية، (b) فيرورمغناطيسية و (c) مضادة الفيرورمغناطيسية. في (b) يحدث السلوك الفيرورمغناطيس تحت درجة حرارة كوري  $T_c$ ، وفي (c) يحدث السلوك المضاد للفيرورمغناطيسية تحت درجة حرارة نيل  $T_N$ .  
لنقاش أكثر تفصيلاً انظر:

P. R. Cox, Transition Metal Oxides, Clarendon Press, Oxford, 1992.

يلاحظ ترتيباً مغناطيسياً صافياً في المواد الفيرورمغناطيسية وذلك تحت درجة حرارة نيل، لأن المغازل تصطف بطريقة التوازي المتعاكسي، ولكن طالما أن هناك أكثر من نوع واحد من المراكز المغناطيسية في المادة فإن المغازل لا تلغى كلية. وبالتالي فإن العينة لها صافي قابلية مغناطيسية حتى عند درجة الصفر المطلق.

لكل أكسيد الفلزات الانتقالية،  $MO$ ، بنية كلوريد الصوديوم مع أن في بعض الأوقات ليست بمركبات تكافئية بسيطة. في بنية كلوريد الصوديوم فإن المحيط ثانوي الأوجه حول الفلز يؤدي إلى الانقسام  $t_{2g} - t_g$  الذي نوقش سابقاً (ص ١٢). تتجه المجموعة  $t_{2g}$  غير الرابطة نحو المدارات الملائمة على أيونات الفلز المجاور والائلاف بين المدارات  $t_{2g}$  صغير لكنه يعتبر بما يكفي لتنشأ بنية شريطية.

إذا كان الترتيب يحدث بطريقة تتموضع فيها كل المغازل الالكترونية على الفلزات مفضلة الوضع المتوازي فإن الفيرومغناطيسية هي الناتج. إذا فضلت أن تصطف المغازل الالكترونية على الفلزات بطريقة التوازي المتعاكس، كما هو موضح بالشكل رقم (٨.٢) فينتج الفيرومغناطيسية المضادة.

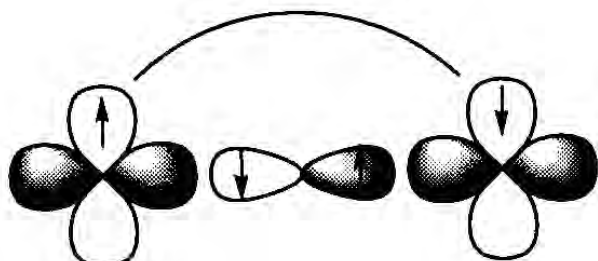
إذا كانت التداخلات التي تنتج في هذه الاصطدامات قوية فإن الانتقال من السلوك الفيرومغناطيسي أو الفيرومغناطيسي المضاد إلى البارا مغناطيس يحدث عند درجات حرارية عالية، وفي حين كونها ضعيفة فتلزم درجات حرارية منخفضة لهذا الانتقال.

الآلية المهمة التي بتصطف بها مغازل الأيونات الفلزية في المواد الصلبة هي آلية التبادل الفائق. في الأكسيد الفلزية  $MO$  التي لها بنيات كلوريد الصوديوم فإن الالكترونات بالمدارات  $t_g$  يمكنها أن تتدخل مع الزوج المداري في مدارات  $p$  على أيون الفلز المجاور بطريقة التوازي المتعاكس، أي مؤدية إلى تداخل فيرومغناطيسي معاكس. نتيجة لذلك فإن الأكسيد الفلزية  $MnO$  ،  $Fe_{1-x}O$  ،  $CoO$  و  $NiO$  التي لها الكترونات تختل مدارات  $t_g$  تظهر تداخلات فيرومغناطيسية مضادة ودرجات حرارة نيل المقابلة هي :

$MnO$	$Fe_{1-x}O$	$CaO$	$NiO$
122 K	198 K	293 K	523 K

تعكس الزيادة في درجة حرارة نيل عبر سلسلة التداخلات القوية بين الفلز والليجاند عبر السلسلة كلما تقلصت الأيونات الفلزية في حجمها.

## مدمجة بطريقة الصدمة الفيرومغناطيسية

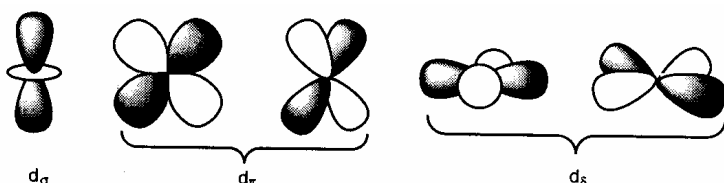


الشكل رقم (٨,٢). يوضح المخطط الاندماج الفيرومغناطيسيي المصاد لمدارات الفلز من خلال استقطاب المغزل لالكترونات في مدار  $p_{2p}$  بالأكسجين.

## روابط مضاعفة بين الفلز والفلز

## Multiple metal-metal bonds

تكون الفلزات الانتقالية مدى واسع من المركبات التي تحتوي على أكثر من ذرة فلزية واحدة. بالذات ، وتشير المسافات القصيرة بين الفلز والآخر في بعض هذه المركبات إلى وجود الارتباط المباشر بين الفلز والفلز. يتطلب تكوين الروابط المضاعفة بين الفلز والفلز الائتلاف الفعال بين مدارات  $d$  لذرارات الفلز. فكلما ازدادت حالة الأكسدة للفلز انكمشت المدارات وتضاءلت ائتلافاتها مع مدارات  $d$  بالذرارات القريبة. تسمح الخواص العقدية لمدارات  $d$  ، كما هو موضح بالشكل رقم (٨,٣) بائتلافات بين مدارات  $d$  لذرتي فلز التي يمكن أن يكون نتاجها أقصى رتبة رابطة بين الفلز والفلز قدرها خمسة أي  $5 \sigma$  واثنان  $\pi$  واثنان  $\delta$  من الروابط.



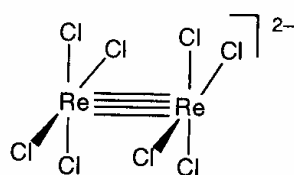
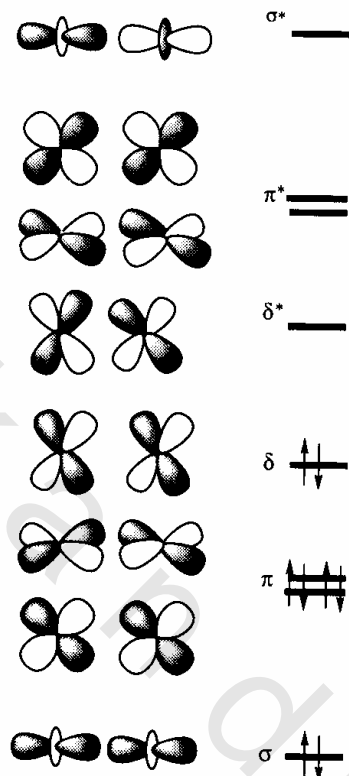
الشكل رقم (٨,٣). الخواص العقدية لمدارات  $d$  المتناسبة إلى المور  $z$ .

في المركبات ثنائية البلمرة فإن أقصى رتبة رابطة لا تلاحظ لأن واحداً أو أكثر من مدارات  $d$  يستخدم في تكوين الروابط بين الفلز والليجاند ولا توفر لتكوين روابط مضاعفة بين الفلز والفلز. مثلاً، في  $[Re_2Cl_8]^{2-}$ ، حيث للفلزات حالات أكسدة رسمية قدرها  $+3$  (أي أن الترتيب الإلكتروني لأيون الفلز هو  $d^4$ ). يستخدم المدار  $d_{x^2-y^2}$  بالفلز في تكوين الهجائن  $dsp^2$  التي في مقدورها استقبال أزواج الكترونية حرة من الليجاندات الأربعية عند تكوين مجموعات  $-ReCl_4$  المربيعة المسطحة.

تأتلت مدارات  $d$  الأربعية بالفلز الباقي لتكون رابطة رباعية بين الفلز والفلز. المدارات الجزيئية الرابطة والنابذة للارتباط المقترنة بمثل هذه الرابطة الرباعية، موضحة بالشكل رقم (٨.٤). يحتاج المكون  $\delta$  أن تبني أجزاء  $-ReCl_4$  بنية مكسوفة لتحقيق أعلى ائتلاف بين مدارات  $d_{xy}$ .

هناك سلاسل لجزيئات ثنائية البلمرة ذات صلة، تتغير فيها رتبة الرابطة بين الفلز والفلز الرسمية مع إسكان المدارات النابذة للارتباط الموضحة بالشكل رقم (٨.٤). أمثلة لمثل هذه المركبات بعده من الالكترونات يتراوح بين ١٦-٨، معطاة بالجدول رقم (٨.١).

يزداد طول الرابطة بين الفلز والفلز بطريقة استمرارية كلما قلت رتبة الرابطة الرسمية بين الفلز والفلز. تتحدد رتبة الرابطة بين الفلز والفلز أساساً للفلزات الانتقالية الأولى بعدد الكترونات  $d$  المقترنة بأيون الفلز في حالة أكسدته الرسمية. الأيون الفلزي  $d^4$ ، مثل  $Te^{3+}$ ،  $Mo^{2+}$ ، أو  $Re^{3+}$  يقدر أن يكون ما مجموعه أربعة من الروابط بين الفلز والفلز.



الشكل رقم (٤). المدارات الجزيئية والبيئة للأيون  $[\text{Re}_2\text{Cl}_8]^{2-}$ .

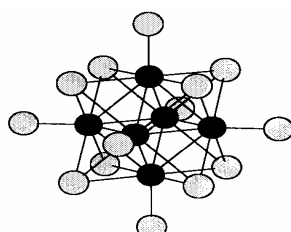
الجدول رقم (١،٨). أمثلة لمركبات ثنائية البلمرة بارتباط بين الفلز والفلز.

البنية الالكترونية	المسافة M - M/ pm	رتبة الرابطة الرسمية	المركب وعدد الكترونات d الداخلية	في الارتباط بين الفلز والفلز
$\sigma^2\pi^4\delta^2$	224.1(7)	4	$[Re_2Cl_8]^{2-}$	
$\sigma^2\pi^4\delta^2$	222.8(4)	4	$[Re_2Br_8]^{2-}$	
$\sigma^2\pi^4\delta^2$	214.7(4)	4	$[Tc_2Cl_8]^{2-}$	
$\sigma^2\pi^4\delta^2 \delta^{*2}$	224.7(1)	3	$Re_2Cl_4(PMe_3)_4$	
$\sigma^2\pi^4 \delta^2 \delta^{*2}$	212.8(1)	3	$Tc_2Cl_4(PMe_2Ph)_4$	
$\sigma^2\pi^4 \delta^2 \delta^{*2}$	219.5(2)	3	$[Os_2Cl_8]^{2-}$	
$\sigma^2\pi^4 \delta^2 \delta^{*2} \pi^{*1}$	224.8(1)	2.5	$[Ru_2(\mu_2\text{-acetato})_4(OH_2)_2]^+$	
$\sigma^2\pi^4 \delta^2 \delta^{*2} \pi^{*2}$	226.1(3)	2	$[Ru_2(\mu_2\text{-acetato})_4(thf)_2]$	
$\sigma^2\pi^4 \delta^2 \delta^{*2} \pi^{*4}$	241.3(1)	1	$[Ru_2(\mu_2\text{-acetato})_4(S-thf)_2]$	
$\sigma^2\pi^4 \delta^2 \delta^{*2} \pi^{*4} \sigma^{*2}$	257.8(2)	0	$[Pd_2(\mu_2\text{- acetate})_4(OH_2)_2]^{2+}$	

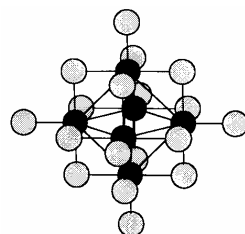
يمكن تكوين الروابط الأربعية بين الفلز والفلز بالطرق التالية :

#### ١ - أربعة روابط أحادية بين الفلز والفلز :

في الأيون العنقودي  $[Mo_6Cl_8Cl_6]^{2-}$  [ ثماني الأوجه فإن كل أيون من  $Mo^{II}$  يكون أربعة روابط فلز - فلز على طول أطراف ثمانية الأوجه. وفي الأيون العنقودي  $[Ta_6Cl_{12}Cl_6]^{4-}$  [ ذي الصلة فإن كل ذرة فلز تكون أربعة روابط ثلاثة المركز ثنائية الالكترونات على وجوه ثماني الأوجه. وهذا يؤدي إلى ما يلي مجموعه ثمانية روابط ثلاثة المركز ثنائية الالكترونات على الوجوه ثمانية لثماني الأوجه. توضح أدناه بنية الأيونات العنقودية  $[Mo_6Cl_{14}]^{2-}$   $[Mo_6Cl_{18}]^{4-}$  و  $[Ta_6Cl_{18}]^{4-}$ .

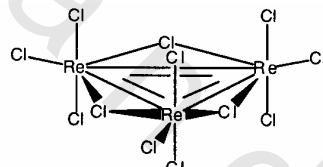


بنية الأيون  $[Mo_6Cl_8Cl_6]^{2-}$

بنية الأيون  $[Ta_6 Cl_{12} Cl_6]^{4-}$ 

## ٢ - زوجان من الروابط الثنائية :

في الأيون العنقودي  $[Re_3Cl_{13}]^{3-}$  المثلث (توضيح البنية أدناه) فإن كل أيون من  $Re^{IV}(d^4)$  يكون زوجاً من الروابط الثنائية مع ذرات الفلز المتاخمة.

بنية الأيون  $[Re_3Cl_{12}]^{3-}$ 

$$Re - Re = 246 - 247 \text{ pm.}$$

## ٣ - رابطة رباعية :

في  $[Re_2Cl_8]^{2-}$  فإن الأيونات  $Re^{IV}d^4$  تكون رابطة مضاعفة رتبتها أربعة، وذلك بالاستفادة من تداخلات الارتباط بين  $\sigma$  ،  $2\pi$  ،  $\delta$  ( $\Delta d_{xy} - d_{xy}$ ) الموضحة بالشكل رقم (٨,٤).

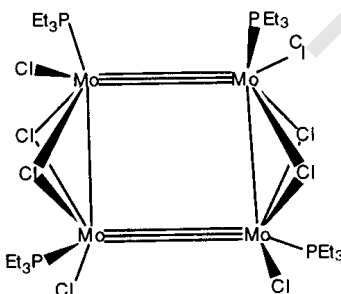
## ٤ - رابطة ثلاثة وأحادية :

يوفر المركب العنقودي  $[Mo_4Cl_8(PEt_3)_4]$  مثالاً لهذا التنظيم الارتباطي (انظر الشكل رقم (٨,٥)).

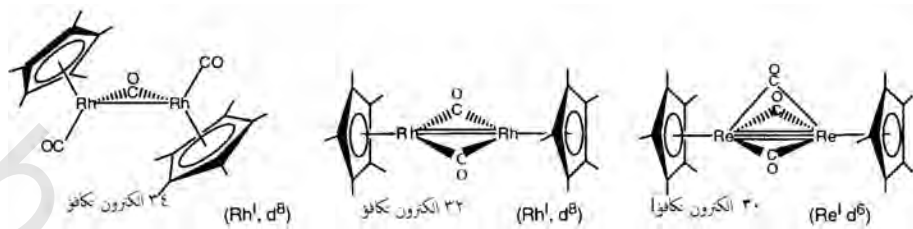
في هذه المركبات فإن تنظيمات الرابط بين الفلز والفلز التي ليس لها شبيه في كيمياء المجموعة الرئيسية تنشأ بسبب أن أيونات الفلز قادرة على الاستفادة من مدارات  $\delta$  الفلزية بالإضافة إلى  $d_{\pi}$  و  $d_{\delta}$ .

تكون العناصر الانتقالية الأولى ذات البنية  $d^5$  الالكترونية مركبات مرتبطة ثلاثياً

مثل :  $\text{Mo}_2(\text{OR})_6$  ، و  $[\text{W}_2\text{Cl}_9]^{3-}$ ، التي تستخدم مدار  $d_{\delta}$  و مدار  $d_{\pi}$  الفلزية. بالنسبة إلى معقدات العناصر الانتقالية الأخيرة ذات الليجاندات الحمضية من نوع  $\pi$  فإن رتبة الرابطة بين الفلز والفلز تحدد بعدد الكترونات التكافؤ الكليلية ، أي بقاعدة العدد الذري الفعال. بالنسبة إلى مركب ثنائي البلمرة به رابطة فلز - فلز فإن هذا يعني بأن 34 من الكترونات التكافؤ تفترن برتبة رابطة فلز - فلز رسمية قدرها 1 ، وتفترن 32 من الكترونات التكافؤ برتبة رابطة قدرها 2 ، و 30 تفترن برتبة رابطة قدرها 3. الأمثلة المحددة مثل هذه الجزيئات موضحة بالشكل رقم (٨,٦) في هذه المركبات ليس هناك أي ربط رسمي بين عدد الكترونات  $d$  و عدد الروابط بين الفلز والفلز التي تكونها ذرات الفلز.



الشكل رقم (٨,٥). بنية العنقود  $[\text{Mo}_4\text{Cl}_8(\text{PEt}_3)_4]$ .



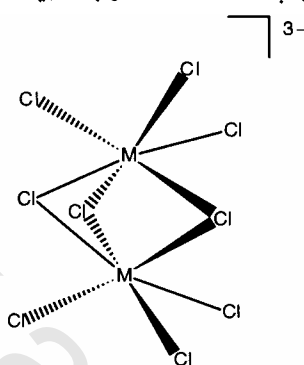
الشكل رقم (٦,٨). ارتباط مضاعف في ثنائية البلمرة الفلزية بليجاندات حمضية من نوع  $\pi$ .

تؤدي الزيادة في العدد الكمي الرئيس عند الاتجاه من أعلى إلى أسفل لعمود الذرات الفلزية الانتقالية إلى أقصى حد في ابتعاد دالة التوزيع القطرية من النواة مما يتربّع عليه ازيداد الاختلاف بالترتيب  $5d - 5d < 4d - 4d < 3d - 3d$  ولهذا أثر عميق على القوة النسبية للارتباط بين الفلز والفلز.

إن الأيونات  $[M_2Cl_9]^{3-}$  (W, Mo, Cr = M) لها بنيات مؤسسة على تقاسم وجوه ثماني الأوجه كما هو موضح بالشكل رقم (٨,٧).

فمركب التنغستن الذي له أقوى ارتباط بين الفلز والفلز ديامغنتيس والمسافة بين الفلز والفلز تساوي  $242 \text{ pm}$ . ولا يتغير كثيراً طول الرابطة بين الفلز والفلز إذا تغيير الكاتيونين المضاد. بالعكس تظهر مركبات الموليسيديوم مسافات قدرها  $282 \text{ pm}$  -  $252 \text{ pm}$  بين Mo و Mo اعتماداً على الكاتيون، ويمكن تفسير خواصها المغناطيسية إما بحدود المستوى المستقر الديامغنتيسي بمستويات مشاربة بارا مغناطيسية واقعة في الأسفل في وفاق مع مخطط المدارات الجزئية. حيث الانقسامات (بين المدارات الفلزية الرابطة والنابذة لالربط) ليست كبيرة أو كأيونين فلزيين ببنية  $d^5$  الكترونية متزاوجة بقوة بطريقة الفيرو-مغناطيسية المضادة. هذان التفسيران يشيران إلى أن الارتباط بين الفلز والفلز ليس بالقوى جداً.

في  $[Cr_2Cl_9]^{3-}$  فإن المسافة بين الفلز والفلز أكثر طولاً (312 pm) وتوافق الخواص المغناطيسية مع وجود اثنين من  $Cr^{3+}$  اللذين ليسا متزاوجين مغناطيسياً. إذاً، فإن المعطيات البنوية والمغناطيسية تؤكد غياب تداخلات الارتباط بين الفلز والفلز.



الشكل رقم (٧,٨). بنية ثانية ثمانية الأوجه متتسامة الوجوه للمركب  $[M_2Cl_9]^{3-}$ .

لنقاش أكثر عمقاً في الارتباط المضاعف انظر:

F. A. Cotton and R. A. Walton, Multiple Bonds Between Metal Atoms, Clarendon Press, Oxford , 1993 and Structural and Electronic Paradigms In Cluster Chemistry, Ed. D. M. P. Mingos, Springer-verlag, Berlin, 1997.